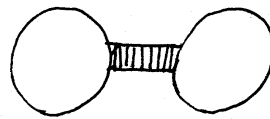


Scharlemann の定理について

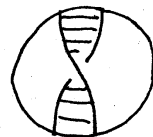
広大理

関根光弘 (Mitsuhiko Sekine)

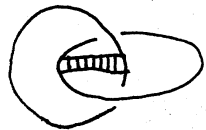
1983年, Scharlemannにより, two components of unknot
unlink = band をつけて, one component の unknot となる
ならば、band は trivial band に isotopic であることが証明
された。 [S.]



さらに1985年, Bleiler - Scharlemannにより, one component
の unknot に band をつけて, one component の unknot になるな
らば、band は trivial band を half twist したものに isotopic
であることが証明された。 [B-S]



そこでその一般化として, S^3 内の Hopf link に band をつけ
て, one component の unknot になるならば, その band は,



に isotopic か? という問題が考えられる。

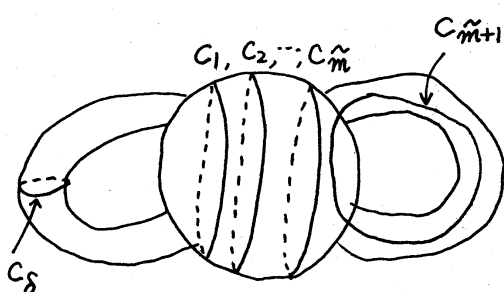
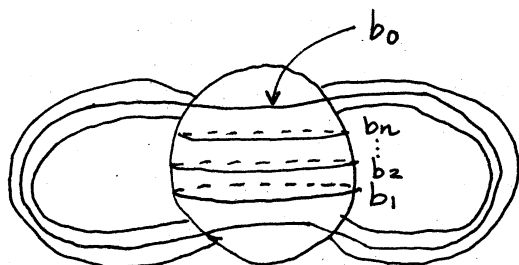
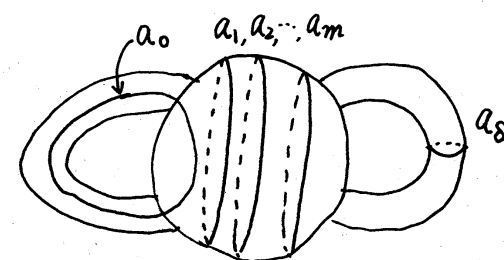
(Hopf link の場合、以下この band を trivial band と呼ぶこととする。)

この問題について、Scharlemann らの方法を用いることにより、ある条件の下に、解答を得たので報告する。

§ 1. Main Results

以下 C^∞ -category で考えることにする。

M を oriented, closed, 3-mfd とし、 N を M に埋め込まれた a ball with two 1-handles とする。そこで、 ∂N 上の simple closed curves $a_0, a_i (1 \leq i \leq m), a_s, b_0, b_j (1 \leq j \leq n), c_k (1 \leq k \leq \tilde{m})$, $c_{\tilde{m}+1}, c_s$ を次の図のように定める。



ただし、 $a_i \cap c_j = \emptyset$ 、
 $(0 \leq i \leq m, 1 \leq j \leq \tilde{m}+1)$

$$a_s \cap c_{\tilde{m}+1} \cap b_0 = \emptyset,$$

$$c_s \cap a_0 \cap b_0 = \emptyset \text{ とし、}$$

$a_0, c_{\tilde{m}+1}, b_0$ は、それぞれ 1-handle の部分を何回か。

まいっているかもしれないが、その数については問わないことにする。また、 $a_0 \cap b_0, (c_{\tilde{m}+1} \cap b_0)$ は、西の 1-handle (東の 1-handle) 上にあるとする。このとき、次の定理が成り立つ。

Theorem 1.1

$\overline{M-N}$ に埋め込まれた planar surfaces P, Q, R で、

$$\partial P = (\bigcup_{i=0}^m a_i) \cup c_s, \quad \partial Q = \bigcup_{j=0}^n b_j, \quad \partial R = \left(\bigcup_{k=1}^{\tilde{m}+1} c_k \right) \cup c_s \text{ 及び}$$

条件 (*) 「 $P \cap R = \text{a single arc}, P \cap Q \cap R = \emptyset$ 」

を満たすものが存在したと仮定する。

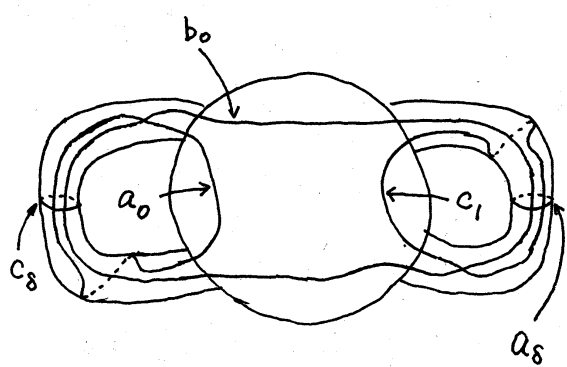
このとき、 P, Q, R を $\overline{M-N}$ に埋め込まれた planar surfaces P', Q', R' にとりかえて。

(i) $m = \tilde{m} = 0$ かつ $n = 0$ あるいは

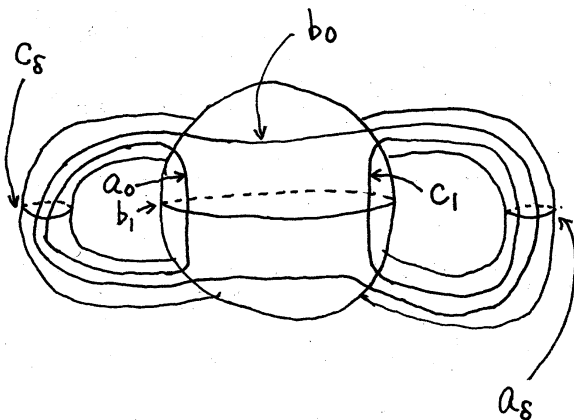
(ii) $m = \tilde{m} = 0$ かつ $n = 1$ で、

それぞれ条件 (*) を満たすようにできる。

(i)



(ii)



Corollary 1.2

$\gamma_p \cup \gamma_R$ を S^3 内の Hopf link とする。

γ_p と γ_R をつなぐ "band b " , $\gamma_p \#_b \gamma_R$ が unknot になり,(ただし,
 $\gamma_p \#_b \gamma_R$ は b による band sum)

更に, 条件(*) 「 S^3 に埋め込まれた disks D_p, D_q, D_R で,
 それぞれ $\gamma_p, \gamma_p \#_b \gamma_R, \gamma_R$ によって bound され,
 $D_p \cap D_R = \text{a single arc}, D_p \cap D_q \cap D_R = \phi$ を満たすものが存在
 する。」を満たすと仮定する。

このとき, b は trivial band に isotopic である。

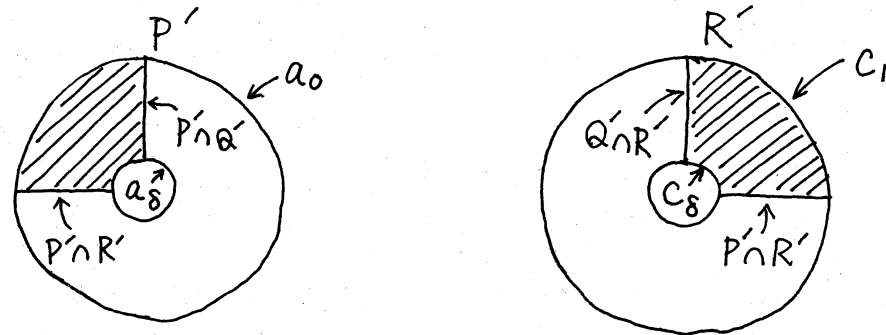
Th. 1.1 を用いた Cor 1.2 の証明

$\gamma_p \cup b \cup \gamma_R$ の tubular nbd を N とする。そこで, $\overline{D_p - N}$,
 $\overline{D_q - N}$, $\overline{D_R - N}$ をそれぞれあらたに P, Q, R と書く。 $a_0, b_0, c_{\hat{m}+1}$ をそれぞれ $\gamma_p, \gamma_p \#_b \gamma_R, \gamma_R$ を ∂N 上に平行移動したもの, a_i ($1 \leq i \leq m$), b_j ($1 \leq j \leq n$), c_k ($1 \leq k \leq \hat{m}$) をそれぞれ b の tub. nbd と
 P, Q, R の交わりとする。条件(*)により, 一つずつであることが
 保証された $\gamma_p, (\gamma_R)$ の tub. nbd と $R, (P)$ の交わりを $a_8, (c_8)$ とす
 ると, Th 1.1 の仮定を満たす。従って(i)あるいは(ii)が成り立つ。

(i) が成り立つとすれば, Q' は disk である。 $X = Q' \cup b$ は,
 S^1 上の I-bundle であり, $\partial X = \gamma_p \cup \gamma_R$ 。ここで γ_p, γ_R はそれぞ
 れ unknot なので, X の base space としての S^1 は unknot。

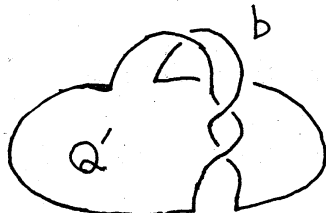
従って X はねじれにより決まるが、 $\gamma_p \cup \gamma_R$ が Hopf link であることにより、Cor. の結果が成り立つ。

(ii) が成り立つとすれば、 Q' は annulus であり、 b が Q' を 1 回貫いている状況である。そこで Q' を $(Q' \cap P') \cup (Q' \cap R')$ によって 2 つの部分に分け、一方を \tilde{Q} とし、それに対応する b の部分を \tilde{b} とすると、 $X = \tilde{Q} \cup \tilde{b}$ は S^1 上の I-bundle であり ∂X は、one component の unknot である。 $(\because$ 下図において、斜線をひいた 2 つの disks を $P' \cap R'$ でくっつけることによってできる disk \tilde{D} は ∂X に bound されている。) 従って [B-S] により、

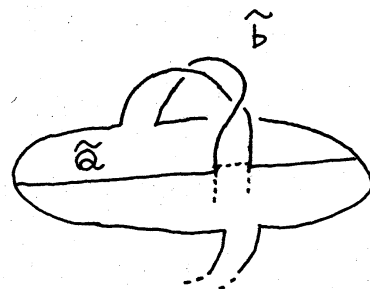


\tilde{b} は、trivial band を half-twist したものである。しかも、 $(\text{Int } \tilde{D}) \cap X = \emptyset$ などの S^3 に P^2 が埋め込まれることになってしまふ！ 従って、この場合は起こらない。 ■

(i) の場合



(ii) の場合

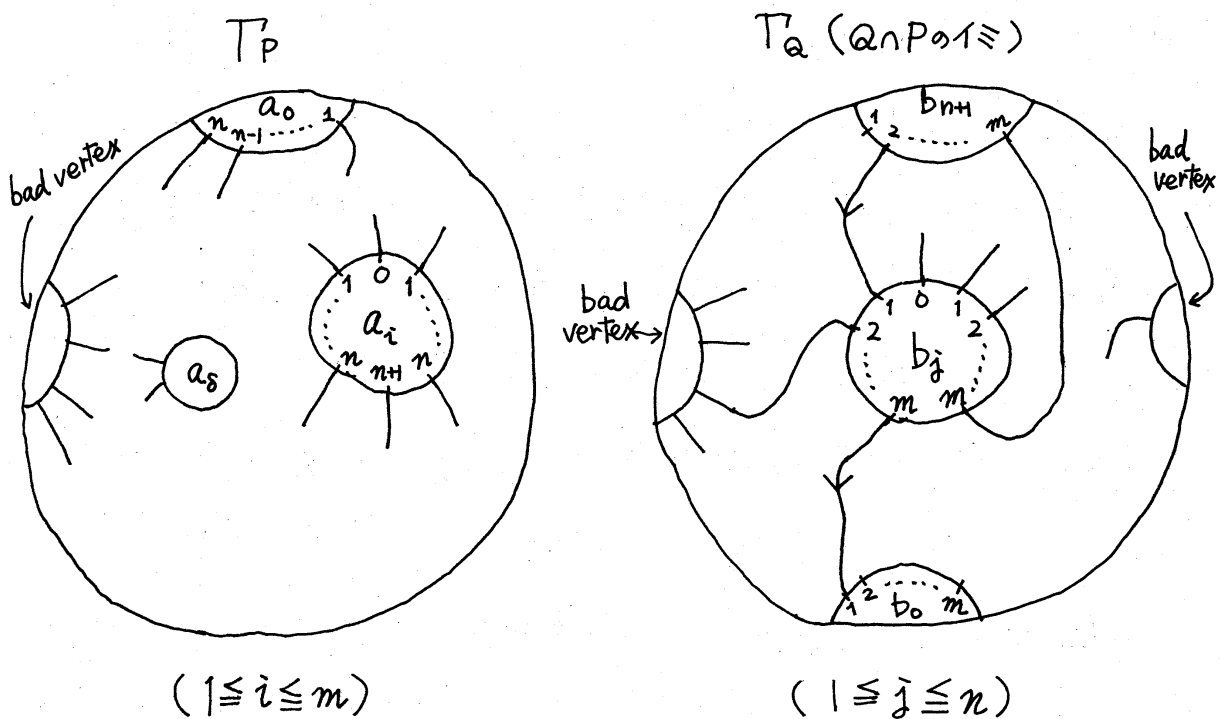


§ 2. Graph の構成及び用語の定義

Th. 1.1 を証明するためには P, Q, R の交わりの状況を graph 化する。まず、 P, Q, R を一般の位置に動かすことにより、 $P \cap Q$, $Q \cap R$, $R \cap P$ は arcs と circles であるとしてよい。そこで "arcs の部分のみに着目する。このとき, P の上に書かれる Q, R との交わりの様子を次のように graph T_P としてみる。 P を a_0 が外側になるように平面上に置き, a_i ($1 \leq i \leq m$) と a_s については、それらによってできた穴が、それぞれ太った vertices a_i, a_s であると思う。また、 a_0 の ball 部分での b_j ($1 \leq j \leq n$) 連との交わり全体をあらたに a_0 という vertex であると思い、 handle 部分での b_0, c_s との交わり全体を一つの vertex と思う。(この vertex を bad vertex と呼ぶことにする。) Q の上に書かれる R, P との交わりを表す graph T_Q についても、 Q を b_0 が外側になるように平面上に置き、 b_j ($1 \leq j \leq n$) については、それらによってできた穴が、それぞれ太った vertices b_j であると思い、 b_0 の ball 部分での a_i, c_k ($1 \leq i \leq m, 1 \leq k \leq \tilde{m}$) 連との交わりのうち、 ∂N 上で南にある部分を b_0 という vertex、北にある部分を b_{n+1} という vertex、西(東)の handle 部分にある a_0, c_s ($c_{\tilde{m}+1}, a_s$) との交わりの部分をそれぞれ 1 つの bad vertex と思うことにする。 T_R についても同様。さらに各 graph の edges は、交わりの arcs であると思う。次に、 T_P 上の vertex a_i ($0 \leq i \leq m$) において、 a_i からでている

ある edge の一端が T_Q 上でみたとき, $b_j (1 \leq j \leq n+1)$ にある場合, T_P 上の、その edge の端に, j と labelling する。(bad vertex につながる edge には labelling はしない。) T_Q, T_R の edge についても同様に、両端に labelling する。そのうえ、両端に labelling された edge に対し、大きい数から小さい数の方へ向きをつける。両端の数が同じであるとき、それを level edge と呼ぶことにする。

また、edge の少なくとも一端が bad vertex である場合、それを bad edge と呼び、それ以外の edge を good edge と呼ぶ。(図参照)



(T_Q には同様に $Q \cap R$ の意味での edge, label も書かれている。
 T_R の様子も同様。)

ここで, $\Gamma (= \Gamma_P \text{ or } \Gamma_Q \text{ or } \Gamma_R)$ についての用語を準備する。

Γ 内の a circuit とは, an embedded circle となる sub graph とする。

a loop とは, 1つの edge から成る circuit のこととする。

a level loop とは, loop かつ level edge であるものとする。

a cycle とは, circuit であり, その全ての edges に向きがついていて, しかも, その向きが circuit 全体に拡張するものとする。

さらに, Γ_P (Γ_R) の場合, その全ての edges が $P \cap Q$ ($Q \cap R$) に属するものとし, Γ_Q の場合, $P \cap Q$ や $Q \cap R$ のどちらか一方に属するものとする。

a semi-cycle とは, circuit であり, 少なくとも一つの edge に向きがついていて, しかもその向きが circuit 全体に, 自然に拡張するもので, さらに cycle の場合と同じく, edges の属する集合に関する条件を満たすものとする。

a good cycle とは, cycle の全ての edges が good edges であるものとする。 a good semi-cycle についても同様。

a unicycle とは, cycle かつ loop のこととする。

a source (sink) とは, ある一つの vertex で, そこに入ってくる向き, (そこから出ていく向き) の edge がないものとする。

すると簡単な考察により, 次の事実が示される。

(証明略)

Fact 1 T_P, T_Q, T_R には level loop がない。

Fact 2 an innermost good semi-cycle が 内部に vertices をもつならば、それらの中には source あるいは sink が必ずある。

§3. Th. 1. 1 の証明の方針

まず、次の事実を示す。

Proposition 3.1

$m = 0$ or $n = 0$ or $\tilde{m} = 0$ のとき、Th. 1. 1 は成り立つ。

(証明の方針)

$m = n = \tilde{m} = 0$ あるいは、 $m = \tilde{m} = 0$ かつ $n = 1$ のとき、Th. 1. 1 が成り立つのは明らか。従って、次の 3 つの claim を示せばよい。

claim. 1 $m = 0 \iff n = 0$ or $n = 1$

$(\tilde{m} = 0 \iff n = 0$ or $n = 1)$

claim. 2 $n = 0 \iff m = 0$ ($n = 0 \iff \tilde{m} = 0$)

claim. 3. $m = 0$ かつ $n = 1 \iff \tilde{m} = 0$

$(\tilde{m} = 0$ かつ $n = 1 \iff m = 0)$

それぞれの claim の証明には、各 graph の中に、innermost unicyle or outermost bad edge があれば、それらを用いて P or Q or R を surgery して、boundary の components を減らす

ことができて, induction にのる, という議論を用いる。
その為, combinatoric な議論により, それらを探し出してやる。

Prop 3.1 により, $m, n, \tilde{m} \geq 1$ と仮定し, なおかつ m, n, \tilde{m}
がこれ以上減らないという仮定の下に, Th を証明すればよい。
ところが, この仮定をおくと矛盾がでることを以下で示すこ
とにより, Th の証明が完結するわけである。

Proposition 3.2

$T_p(T_R)$ の innermost good cycle は, 内部に vertices をもつ。

(略証)

もたないと仮定して, n が減ることを示す。

Prop. の cycle を γ とする。 γ が内部に vertices をもたないと仮定
すると, γ の内部に innermost good semi-cycle γ_0 が存在して,
 γ_0 は, もはや, 内部に label されても, もたないとしてよい。
すると, ある i ($1 \leq i \leq n+1$) が存在して, γ_0 を構成する edges の両
端の label は, 全て i と $i-1$ になってしまふ。 ([S] の議論参照)

そこで, γ_0 が囲む P 内の disk を D とする。

$2 \leq i \leq n$ のとき, $\partial A = b_i \cup b_{i-1}$, かつ $A - \partial A \subset \text{Int}(M - N)$

なる annulus A をはる。そして, D に平行な 2 枚の disk D_1, D_2 を
用いて, Q を surgery する。得られたものを \tilde{Q} とする。

すると, D_1, D_2 の内部には, P, R との交わりはなく, A 上には, P, R との交わりはあるが, そこでは $P \cap R = \emptyset$ である。しかも, \tilde{Q} と Q で変化した所は, b_i と b_{i-1} のごく付近のみであるから, $P \cap R = 1\text{-arc}$ の部分は, はずれていよいよ。従って, \tilde{Q} は, "planar surface" で, n が 2 つ減ったばかりでなく, $(*)$ という条件を満たしている。

$i = 1 \text{ or } n+1$ のとき. A の, かわりに, band B をはって, Q を surgery すると, 同様に, $(*)$ という条件を満たしつつ n が 1 つ減る。■

Prop. 3, 2 と同様にして, 次の事実が示される。

Proposition 3.3

T_α の $P \cap Q$ の意味での innermost good semi-cycle は, 内部に vertices をもつ。 $(Q \cap R$ の意味でも, 同様)

ただし, この場合, Prop 3, 2 と同様に, D を見い出す所までは, よいが, その後, D を用いて surgery をすると, m は減るが, 条件 $(*)$ がくずれてしまう場合がある。それは, γ_0 の内部に, $Q \cap R$ の意味での label が存在する場合である。このときには, 次の Lemma が必要になる。(証明略)

Lemma 3.4

D の内部に, $Q \cap R$ の意味での, good semi-cycle が存在する。

Lemma 3, 4により、存在の保証された $\tilde{\gamma}$ の内部にある inner-most good semi-cycle $\tilde{\gamma}_0$ をとり、その囲む Q 内の disk \tilde{D} を用いて surgery をすれば、条件(*)を満たしつつ、 \tilde{m} を減らすことができる。

話が前後してしまったが、good cycle の存在を示す次の事実も重要である。

Proposition 3.5

次の2つの事実のうち、少なくとも一方は成り立つ。

- (1) T_Q に、 $P \cap Q$ の意味での good cycle が存在する。
- (2) T_Q に、 $Q \cap R$ の意味での good cycle が存在する。

以下、(1) が成り立つと仮定する。そして、 T_Q の $P \cap Q$ の意味での graph のみを考えることにする。すると、Fact 2 により、vertices には、source or sink が含まれていることになるが、combinatorial な議論を用いると、両方は含まないことが、示される。

従って、Case. 1 sinkのみを含み source を含まないあるいは、Case. 2 sourceのみを含み sink を含まないと、なる。

Case 1 の場合, [S. §6] の議論により, Case 2 の場合,
 [B-S §5-§9] の議論により, 矛盾が示される。

参考文献

[B-S] Bleiler S. and Scharlemann M.

A projective plane in \mathbb{R}^4 with three critical
 points is standard, Strongly invertible
 knots have property P preprint

[S] Scharlemann M.

Smooth spheres in \mathbb{R}^4 with four critical
 points are standard.

Invent. Math. 79, 125 - 141 (1985)